

# 摄影学理论

(第四分册)

凯纳斯·米斯主编

中国电影出版社

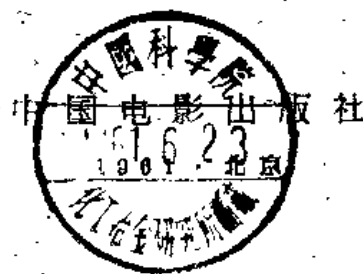
48.5  
203  
二中

# 攝影學理論

(第四分冊)

〔美國〕凱納斯·米斯 主編

刘海生 譯



C. R. KENNETH MEES  
THE THEORY OF THE  
PHOTOGRAPHIC PROCESS

本書根据美国麦美伦图書公司1954年版第一次印刷本譯出

攝影學理論  
(第四分冊)

(美國) 凱納斯·米斯 主編  
刘海生 譯

\*  
中国电影出版社出版

(北京西單舍安街12号)

北京市書刊出版業營業許可證出字第089號

北京外文印刷厂印刷

新华書店北京发行所發行 全國新华書店經售

开本880×1168公厘  $\frac{1}{32}$  · 印張 8  $\frac{3}{4}$  · 插頁 1 · 字數： 186,000

1961年5月第1版

1961年5月北京第1次印刷

統一書號：15061·87 印數：1—3,000

定价：1.35元

## 目 次

第十三章	显影作用的历程	( 1 )
第十四章	显影物及其反应	( 32 )
第十五章	显影作用的动力学	( 125 )
第十六章	显影液的电化学	( 194 )
第十七章	定影及水洗	( 215 )
第十八章	减薄、加厚及调色	( 244 )

2kess/2/19

## 第十三章 显影作用的历程

照相过程是以下述事实为基础的，即显影液将银离子还原成金属银的过程，在已曝光的卤化银颗粒上要比在未曝光的颗粒上进行得快。光在颗粒内所引起的使颗粒可以被显影的那种变化，在第四章中已经讨论了。本章讨论已曝光颗粒开始还原以及这种还原一经开始以后就不断继续下去的历程。

有两种基本方法可用以获得银象。实践中惯用的一种称为化学显影或直接显影。将已曝光的感光材料置于适当的还原液中，就因卤化银颗粒的还原而产生银象。最简单的显影液含有一种显影物（属于第十四章中所讨论的各种类之一的一种还原剂）及一种用来造成适当 pH 值的缓冲剂。在实践中，显影液一般也都含有例如亚硫酸钠一类的物质（第十四章及第十五章）。第二种方法称为物理显影。物理显影剂的特色是它含有一种还原剂，例如显影液中常用的苯环化合物，并且还含有用作自由银离子来源的一种可溶性的银盐，以及将 pH 值和溶液中银离子的浓度调整至适当数值的其他附加物。为了后一目的，可用与银离子形成可溶性的络离子的物质，如亚硫酸盐。这些溶液将银沉积在由光在卤化银中所造成的核上，但对银的自发沉淀来说，它们却比较稳定。物理显影最单纯的形式是一个先期定影的过程。卤化银盐是在曝光以后及显影以前从感光层中被溶解出来的，潜影则留在凝胶层内，因此借以形成银象的银，完全来自显影液本身，而非取自卤化银颗粒。在称为后期定影物理显影的另一种形式中，是将已曝光的感光层浸入显影液内，而不是将卤化银溶解出来。在这种形式中，卤化银可以将银供给显影出的影象，而这种过程实际上很可能是化学显影与物理显影的混合。

在普通的显影实践中，这两种类型的显影作用可能同时发生，因为显影液中含有对于卤化银具有一些溶解作用的物质。勒芙兰特(R. P. Loveland)①用显微原相研究含有亚硫酸盐及硫代氰酸盐的显影液(柯达Dk20)

① 私人通訊。

的作用时，获得了明显的证据，证明物理显影与化学显影之间有竞争：夫雷特<sup>1</sup> (Freder) 研究对苯二胺显影剂时，也获得了相似的证据。柯斯脱<sup>2</sup> (Kuster) 所作电子显微镜的观察，揭示出后期定影物理显影与化学显影中某些含有亚硫酸盐的稀显影液所造成的银的形状是很明显地相似的。银的还原也许是由于化学显影作用而开始，但在以后的各阶段中，发生了相当程度的物理显影作用。

在化学显影作用中，被还原的银量决定于至少含有一个潜影中心的卤化银颗粒的数目和大小；而在先期定影物理显影作用中，沉积的银量主要决定于潜影中心的数目。艾伦斯和埃格脱<sup>3a</sup> 以及艾伦斯<sup>3b</sup> 个人从研究具有已知质点大小与浓度的银和金的溶液着手，说明用对苯二胺物理显影剂所显影出来的银量与质点的大小无关，但与它们的数目成正比。但是这一法则只在某种限度内有效。当核的集中程度高的时候，银的生长速度就不如与核的数目成正比时那样快；当质点的大小超过  $10^{-15}$  克时，虽然生长过程的绝对速度继续增长，但其相对速度却会降低。这两种与上述法则背驰的现象，可以认为是显影液局部耗尽的结果。

在先期定影的显影作用中，溶剂及其消除卤化银的方法是很重要的。潜影的极其细微的银质点，由于它们很小，所以活性极大，很容易被含有空气的定影液氧化和溶解。过久地用酸性硫代硫酸盐溶液来处理，将消除一切潜影的踪迹，这是我们根据银在这类溶液<sup>4</sup> 中的可溶性所能想到的。碱性的海波溶液，特别是当用氮排除其中空气以后，是卤化银的一种有效的溶剂，虽然用它处理过久也会损害潜影。对潜影损害最小的也许是亚硫酸钠；但是当乳剂含有很多碘化物时就不能用它。

布洛克<sup>5</sup> (Bullock) 测量出为物理显影作用产生影像所需的曝光量，并和化学显影作用所需的曝光量作了比较。他发现后期定影物理显影作用所需的曝光量，比用乙二酸亚铁的化学显影作用所需的曝光量大2.5至7.7倍，视物理显影剂的成份而定；先期定影物理显影所需的曝光量则为5至10倍。这些因数是用微粒乳剂（慢速幻灯片）测定的。有理由相信，用速度较快的乳剂时这种因数还要高得多，但如果将显影时间延长到超过产生影像所需要的最短时间，就会因为有大量灰雾的沉积而使问题复杂化。康凡尔特<sup>6</sup> (Kornfeld) 发现在不加搅动的碱性海波定影液中，胶片的位置会影响能为以后的物理显影作用所获得的胶片感光速度以及特性曲线的形状。在最有利的情况下，物理显影所需要的曝光量大约为化学显影的三倍。杰姆斯 (James)、范斯洛夫 (Vanselow) 与魏克<sup>7</sup> (魏克) 发现，如果用氮气激烈搅动定影液，就没有这种位置效应，他们使用电影正片时

发现，如果将潜影用金溶液或蒸气加厚，那么在物理显影作用（先期定影）下所获得的感光速度几乎与化学显影作用下的感光速度相等。

电子显微镜下摄得的照片说明后期定影物理显影作用与先期定影物理显影作用所产生的影象之间在结构上有一种特征性的差别。柯斯脱<sup>①</sup>发现，后期定影物理显影作用所形成的银是从颗粒表面生长成粗糙的丝状，其长能达数微米，宽约0.1微米。他使用的是米吐尔-硝酸银显影剂，其中不含卤化银的溶剂。图191是魁克与汉密尔登<sup>②</sup>(Hamilton)重复柯斯脱的研究工作时获得的弯曲细丝状结构。他们也观察到一些几乎呈球形的质点，但是主要的却是细丝状结构。柯斯脱用含硫酸钠的极稀的化学显影液获得了与此类似的粗糙的丝，液中的亚硫酸钠可能对于卤化银起了相当的溶解作用。借先期定影物理显影作用所得的银沉积，可能结成似绒毛的块状物，这种绒状物显然系由极细的银质点组成的(图192，显影剂与图191中所用者相同)，或者结成形状大致良好的六角形的银晶体<sup>③</sup>(图193)。在借后期定影与先期定影显影作用显影所得的银之间之所以有差别，可能只是因为自由银核对于银的结晶的定向影响不同于嵌在卤化银内部的银核的定向影响。

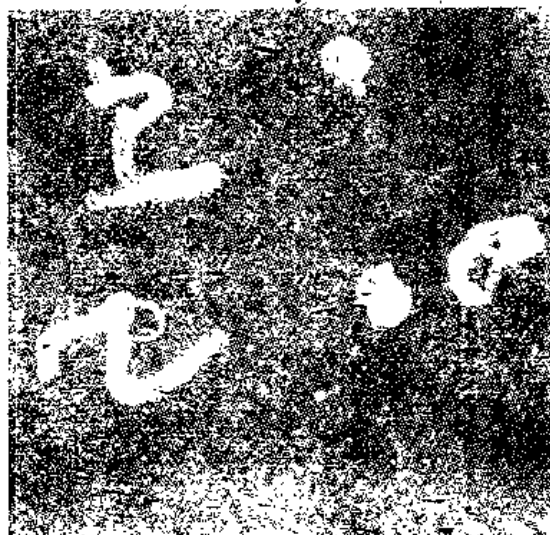


图191 后期定影物理显影作用所形成的银。  
在11°角下的金暗影表示颗粒的厚度。

① 魁克与汉密尔登，私人通訊。

② 晓恩与杰姆斯，私人通訊。

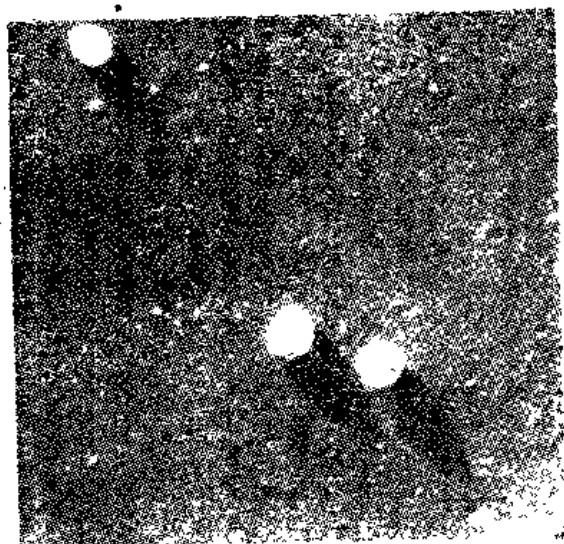


图192 先期定影物理显影作用所形成的银。  
金遮影角度11°。

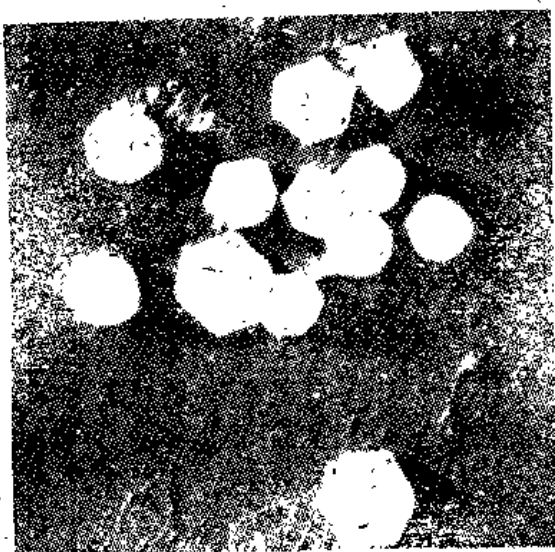


图193 慢慢的先期定影物理显影作用所形成  
的银。金遮影角度20°。

化学显影作用所获得的银的形状，可能大致相当于原来的卤化银颗粒，也可能完全不象原来颗粒。勒美兰特<sup>①</sup>用光学显微镜对于显影银的形状如何决定于显影剂的成份及乳剂颗粒的碘化物成份等问题进行了一系列的研究。他发现：将不含碘化物的溴化银颗粒涂佈成单层颗粒的薄层，在含有0.025M对苯二酚、0.5M碳酸钠、0.02M亚硫酸钠和0.01M溴化钠的显影液中显影，所产生的银粒保持着原来溴化银的形状，唯大小稍为扩大。在普通涂层中显影所得的颗粒在形状上比较更不规则些。若将亚硫酸钠含量增加到0.6M，就会使显影出的溴化银颗粒带有破碎的边缘。如果用米吐尔代替对苯二酚，显影出的颗粒的形状就有相当的畸变。

含有少量碘化物的溴化银颗粒的属性不同。如果用亚硫酸盐含量低的对苯二酚溶液显影，则它们稍有变形，并且有些溴化银颗粒上有很小的突出的部分。碘化物的含量较大时，突出的部分的数目也增加。在高活性的溶液内的米吐尔，甚至在没有碘化物时也会使银粒产生突出的部分。显影液促使形成突出的部分的倾向，似乎可与银粒结成团状的倾向联系起来。用亚硫酸盐含量很小的对苯二酚显影液时，不含碘化物的溴化银乳剂中产生团状物的倾向很小，在碘化物含量低的乳剂中形成少量团状物；在碘化物含量高的乳剂中形成的团状物较多。高活性的米吐尔显影剂甚至在不含碘化物的乳剂内，也会形成团状物。显然，正在显影中的颗粒上的银的突出部分插入邻近的一个颗粒的格子内，可以促使后者显影。

霍尔(Hall)与晓恩<sup>2</sup>(Schoen)及冯阿尔登内<sup>3</sup>(Von Ardenne)用鉴别率较高的电子显微镜来揭示一般在光学显微镜下所不能看到的银象的特点。在已显影的银粒的边缘上常有细微的丝状结构。完全显影了的颗粒的中心部分，一般并不呈现丝状结构，但是这些中心部分可能是由一团细丝组成，连电子显微镜也不能够鉴别。从乳剂内取出颗粒，在显微镜的载片上显影，一般在电子显微镜下显示比较明显的丝状结构，好象一团海藻(图194)。图195示微小的乳剂颗粒在显影中的各个进展阶段，其细丝突出在原来颗粒的界限以外很远。最初出现几根细丝，随着显影的继续，其数目及长度逐渐增加，直至最后溴化银颗粒就为丝状银粒所代替。极微小的颗粒显影时，例如李普门乳剂中的颗粒，每一个别的颗粒似乎都变成了一根细银丝(图196)。柯斯脱<sup>4</sup>在研究平均大小为1.6、0.8、0.15及0.025微米的颗粒的显影时，也曾观察到类似的现象。较大的卤化银颗粒显影后所形成的丝粒，其所占地位约与原来的卤化银颗粒大小相同，而较

① 私人通訊。

小的卤化银颗粒显影后所形成的银粒，则要占比原来卤化银为大的面积。由米吐尔对苯二酚、氯代对苯二酚、阿米多、对羟基代青氮酸、连苯三酚、邻苯二酚、及乙二酸亚铁等所显影出的各个颗粒，几乎不能加以分辨。

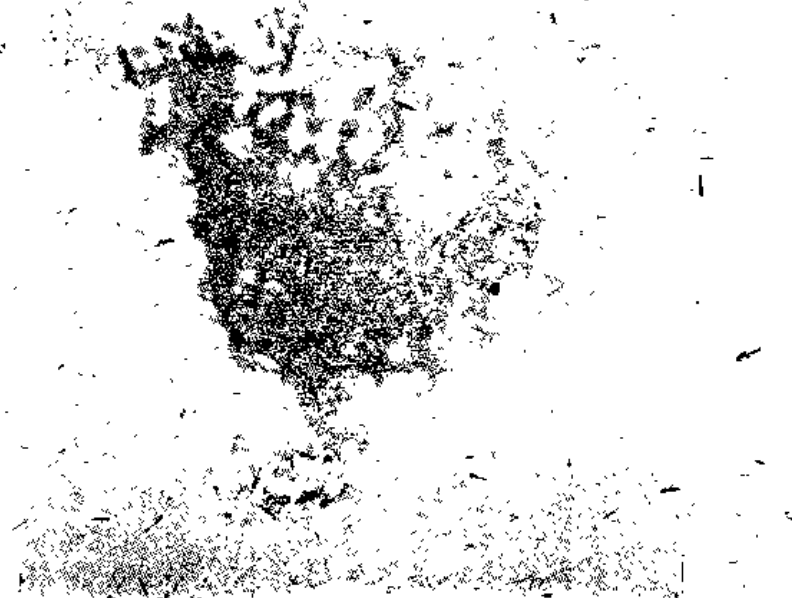


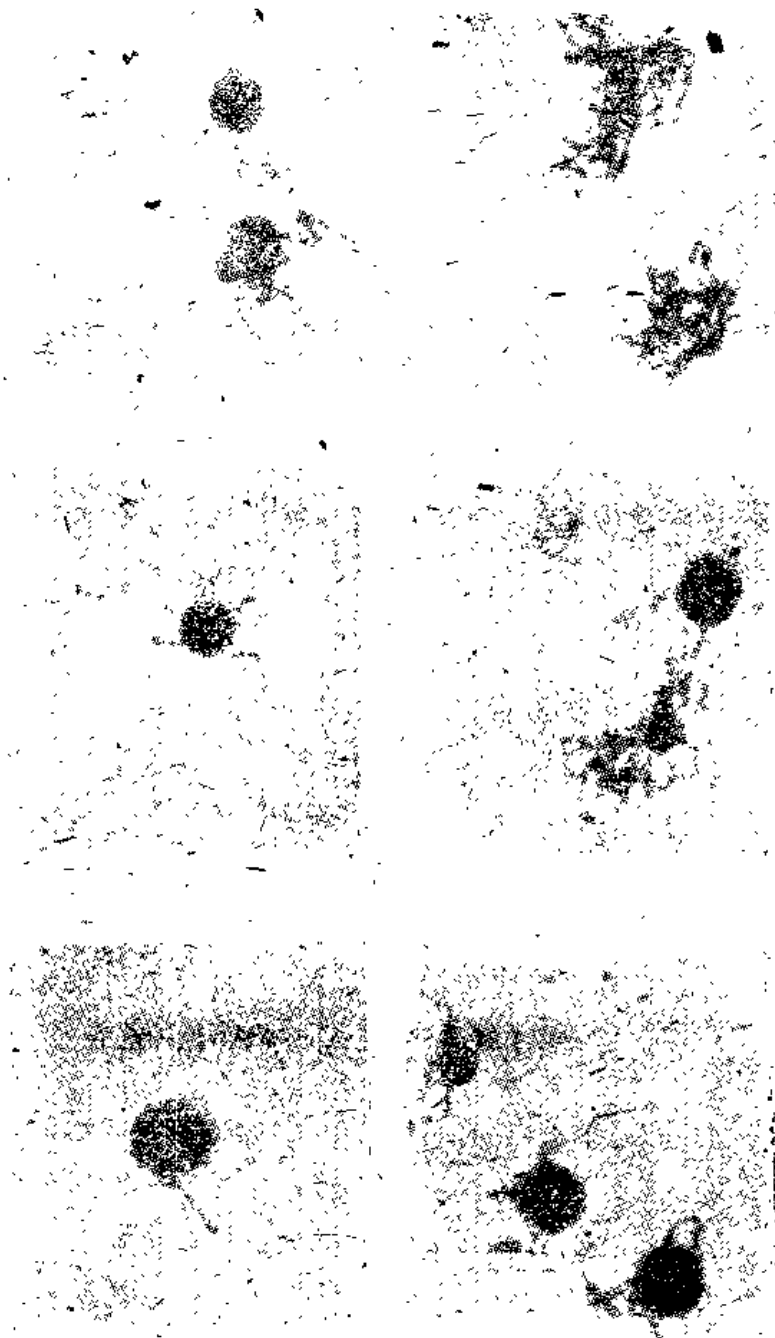
图194 用阿米多显影所产生的银粒（放大40,000倍）。

霍奇孙<sup>14</sup> (Hodgson) 与斯凡特堡<sup>15</sup> (Svedberg) 的早期工作表明：已曝光颗粒的化学显影作用开始于颗粒表面上，假若相当于潜影中心的几个分立的点上，并且从这几个点发展，直至最后整个颗粒完全被还原为止。勒芙兰特和拉宾諾維<sup>16</sup> (Rabinovitch) 及其同事们<sup>17</sup> 发现：显影作用在一个个别颗粒上的开始与进展的方式，决定了乳剂的制造法和显影剂的成份。拉宾諾維将显影作用分为五种类型：

(1) 規則的显影作用，常从溴化銀晶体的一个边缘开始，迅速地扩展至整个表面上是圆形的区域，颗粒的形状只有极小的变动。

(2) 不規則的显影作用，在許多点上开始。颗粒好象发狂了一样，形成許多銀瘤，而变黑的过程缓慢地向多方面伸展，颗粒的形状大有改变。

图195 漂化银颗粒显影的各个进展阶段（放大50,000倍）。



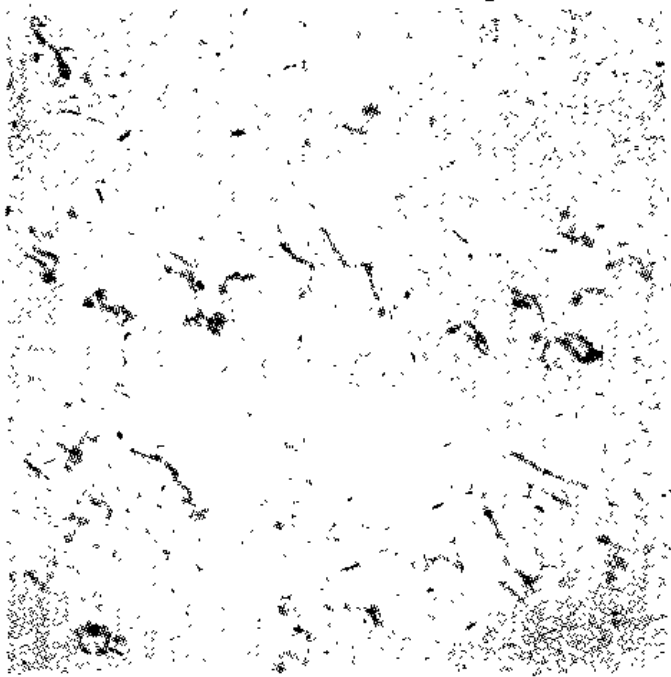


图196 露影后的李普得乳和颗粒（放大50,000倍）。

(3) 混合显影作用，开始时是不规则的最影，但突然变更性质，迅速发展为圆形区域。

(4) 爆发显影作用，是不规则显影作用的极端情况，颗粒上突起一个大瘤，而整个颗粒常向相反的方向移动。变黑的面积比颗粒原来的面积大得多，并且顺着生长的方向伸长。

(5) 扩散显影作用，在晶体表面的许多点上同时发生。表面很快地被许多黑点遮住，最后这些黑点聚结在一起。

勒美兰特研究了在显影液中添加卤化银的溶剂的影响。这里所得银象的显微组织与用溶剂含量低而活性高的显影液所获得的银象的显微组织不同，并且随着卤化银中碘化物含量的多少而有相当的变化。含米吐尔、亚硫酸盐与硫氰酸盐的柯达DK-20显影液，对于不显影的颗粒有显著的溶解作用。在不含碘化物或只含极少量碘化物的颗粒的显影作用的初期阶段；有些颗粒开始按照正常的化学显影作用的方式显影，但小颗粒象大颗粒一样地容易开始显影，或者比较更容易一些。然而显影作用的主要部分似乎起了一个加厚剂的作用，由物理显影作用将银沉积于已显影的银粒上，这

样，最后的銀粒一般說來要大于原來的溴化銀顆粒。出現了似乎是由于在針狀顆粒的頂端從根部而長成的長條的銀。用碘化物含量比較高的顆粒所得到的結果也不同。顯影作用似乎大部分是物理顯影，但顯影出的顆粒平均小于原來的顆粒。 $DK-20$ 顯影液比活性高而溶劑含量低的顯影液造成的顯影中心多，從這些中心凸出細微的銀，這樣的方式與普通的顯影作用是完全不同的。

用低活性的對苯二胺顯影液所獲得的結果更為不同。用純溴化銀乳劑和碘化物含量高的乳劑時都得到同樣小的顆粒。顯影出的顆粒的結構，似乎不如平常的密實，而顆粒上面的凝膠層內出現了散佈的細微銀點。顆粒上面顯影中心的數目以及似乎與任何鹵化物顆粒都無直接關係的顯影中心的數目，都隨着曝光量的增加而增大。大雷木<sup>1</sup>也曾觀察到在溴化銀顆粒位置以外有銀斑形成。

鮑埃孙那斯<sup>13</sup> (Boisséanas) 進行了一些典型的實驗，研究對苯二酚顯影液與已熔融的溴化銀制得的粗溴化銀晶體的反應。未經曝光的溴化銀試樣與顯影液接觸數秒鐘後，其光滑的表面上就出現了銀粒，並且繼續生長，直至整個表面全被遮住時為止。如果將光滑的表面曝光，則顯影後將產生一個影像，但這影像是一個正象，即曝光區域中顯影的銀粒少於未曝光區域中顯影的銀粒。如果將溴化銀試樣在曝光以前用金剛砂磨粗，則顯影以後所得到的是一个正常的負象。在某些實驗中，鮑埃孙那斯曾獲得由溴化銀格子的八面體 (111) 平面限定界限的定向銀粒，這些銀粒完全佔據了溴化銀塊中形成的空窩。如果溴化銀表面上蓋有凝膠，就產生部分空心的銀錐體，這些錐體伸張到凝胶以內，它們向內彎曲，並且隨還原過程的繼續而消失。

吉斯 (Keith) 與米契爾 (Mitchell)<sup>14</sup> 進行了一系列研究定向溴化銀晶體還原過程的實驗，晶體是由將來在兩塊海墨爾 (Hysil) 玻璃的光學平版之間的熔融的高純度溴化銀進行結晶而制得的。將試樣切成 5 毫米見方，架在顯微鏡玻片上，用溴-溴化鉀溶液處理後，用水洗滌。然後將它們移置在盛有 1% 凝膠溶液的顯微鏡染色缸內，不經漂清即行取出。每一個試樣由一個玻璃環固定，其任務是承載試驗時用的顯影液。研究的對象是灰霧中心的還原而不是潛影中心的還原。在光學顯微鏡和電子顯微鏡下觀察，所得的銀沉淀常帶似感光乳劑中已顯影顆粒的結構。在 (100) 溴化銀表面上，用氯氧化鐵、檸檬酸與檸檬酸鉀配成的亞鐵-檸檬酸鹽顯影液將導致正方形的銀沉淀，填滿溴化銀表面形狀齊整的空窩。用一個不含亞硫酸鹽的對羥苯基代甘氨酸-碳酸盐顯影液，也得到類似的結果。

用呈現(111)表面的溴化銀試樣時，這些顯影劑將造成被細銀絲或亂銀絲團繞住的銀沉淀。

在某些研究形成細絲的历程的實驗中，吉斯與米契爾研究了在對苯基代甘氨酸顯影液中添加硫代硫酸鈉的效應。每升含25克氫氧化鉀、12.5克溴化鉀和6克顯影物的鹼性顯影液在(100)溴化銀表面上起反應，就產生一種銀沉淀，當它被溶去後，留下成倒置的平方金字塔形狀的空窩，但是沒有細絲。在顯影劑內添入適量的硫代硫酸鈉以後，銀斑的邊緣就變成破碎的，並且產生一些細絲。在較高的硫代硫酸鈉濃度下，形成細微的銀絲，並且再增高硫代硫酸鹽的濃度時，銀絲更多。米契爾<sup>14</sup>指出：由純銀組成的細絲在熱力学的意義上並不穩定，但當表面上有一層硫化銀時就可以變成穩定的。他認為這是因為硫代硫酸鹽供給了足以穩定細絲的硫化物。亞硫酸鹽在上述兩種溶液中也可以起類似的作用：含有它的顯影液；由於亞硫酸鹽的還原或亞硫酸鹽內所含硫代硫酸鹽雜質的分解而產生硫化物痕迹的溶液。這種解釋方法還為下列事實所支持，即在含有亞硫酸鈉和溴化鉀的溶液內電解溴化銀溶液時，銀陰極上並不產生細絲，但當添入適量的硫代硫酸鹽後，就容易形成細絲。在以前對於從顯影感光乳劑顆粒所獲得的銀的結構的研究中，曾觀察到例如乙二酸亞鐵、對苯二酚與膠氨類等不含亞硫酸鹽的顯影液也能造成銀絲，但在電子顯微鏡下，這些細絲似乎不如含亞硫酸鹽的一類顯影液如阿米多所形成的細絲那樣穩定。

在研究市售顯影液對於具有(100)面的溴化銀試樣的作用時，人們獲得了各種各樣的結果。某些顯影劑例如柯達D-19b和依爾福ID-2等，先產生正方形的銀，以後當反應繼續進行時，有由細微的微晶體組成的錐體從底部向上突出。這些錐體似乎並不是由挤压而形成的。將銀溶去以後，溴化銀上留下的空窩成倒置的金字塔形狀。含有多量亞硫酸鹽的米吐爾-對苯二酚顯影液柯達D-76和含有多量亞硫酸鹽的米吐爾微粒顯影液D-25，都造成不帶正方形表面沉淀的細絲團。D-25顯影液產生稀的長絲聚集體。高活性的阿米多顯影液產生方底的沉淀，而從方底上生長出長絲。含多量亞硫酸鹽的顯影液所產生的絲，似乎是在底部而不是在頂部生長的，但是也沒有證據可以證明它們確實是從溴化銀中壓擠出來的。它們只是可能由於靜電吸引而松散地附在底部，並且很容易脫離。細絲團在溴化銀的表面上移動，而在除去細絲以後，表面上就剩下形狀不規則的空窩。具有(111)面的溴化銀都受所有試驗過的市售顯影劑極迅速的侵襲，在表面上毫無例外地形成細絲。

动力学的研究对于解释侧面化学反应的历程常有很大的帮助，用照相显影液还原銀盐的历程即其一例。謝培德与米斯<sup>15</sup>指出，羟氨还原溶液中的銀离子的过程可被分散細微的銀加速。杰姆斯<sup>16</sup>研究了对苯二酚在稍带酸性的溶液中还原銀离子的过程。这一反应有一个显著的诱导时期和自生催化反应所特有的曲線形状。添加胶态的金、銀、銦和硫化銀，都显著地減短诱导期。有胶态銀存在时，反应速度可由下式很好地表示：

$$d(Ag)/dt = \{K_1[C_6H_5O_2^-] + K_2[C_6H_5O_2]\} [Ag^+]^\alpha \cdot S,$$

式中  $[Ag^+]$  是溶液中銀离子的浓度， $\alpha$  的数值約为  $2/3$ ， $S$  是銀的表面，常数  $K_1$  約等于  $50,000 K_2$ 。在碱性溶液( $pH 9$ )中，反应速度隨着銀离子浓度的  $1/2$  次方而变化，而与对苯二酚的浓度的关系是比一次方稍大些。

杰姆斯发现，其他各种照相显影物与銀离子在溶液中的反应也为銀所加速。在稍带酸性的溶液中，羟氨与銀离子的反应速度与有效的銀表面面积成正比，并隨着銀离子浓度的  $2/3$  次方变化。在稍带碱性的溶液中，反应速度与銀离子浓度的  $1/2$  次方成正比。反应速度隨着羟氨浓度的变化要小于正比关系，在  $pH$  值为  $3.8$  时，它隨羟氨浓度稍低于一次方而变化；及至  $pH$  值为  $8.54$  时，则隨  $0.3$  次方而变化。对苯二胺还原銀离子的动力学，在几个重要方面与对苯二酚及羟氨还原銀离子的动力学不同。反应速度与銀离子浓度成正比，但依显影物浓度的分数幂而变化。对苯二胺的反应呈現强烈正性的批效应，这一点与对苯二酚及羟氨的反应不同。与  $pH$  值的关系很奇怪，因它隨着盐的浓度的改变而变更其方向。反应速度与有效的銀表面面积成正比。銀离子与其他的显影物如邻苯二酚、抗坏血酸及肼等的反应，为銀所加速，另一方面，杰姆斯在銀离子与在一般概念中不是显影物的亚銨酸鈉、氯化去氧安息香基(desylamine)和联糠酇(turoin)的反应中，沒有观察到有催速作用。

研究固体銀盐类与显影物反应的动力学，在实验上比較更困难，但对这种反应也曾进行研究。杰姆斯<sup>17</sup>用对苯二胺作显影物，可由不断觀察气体反应产物的演变而連續观察它的反应，这种方法可大大简化实验技术。

用羟氨还原在有过量氯化物离子下沉淀的氯化銀，将得到自生催化反应所特有的  $S$  形曲線。反应速度直接隨羟氨的浓度而变化。新制成的沉淀物的比表面积隨着陈化而减小，反应速度成比例地减低，并且对于在加入羟氨以前預先与凝胶溶液共處过的沉淀物，反应速度較低。当凝胶量增加时，速度更急剧地降低，直至到达一个最低的速度，这时整个氯化銀表面上有厚約  $4 m\mu$  的凝胶层，如果将氯化銀沉淀物在有光化的光下曝光，则反应的诱导期将几乎完全消失。刚曝光的沉淀物在反应全程的最初百分

之五的过程中，就达到最高反应速度，而未曝光的沉淀物只在百分之二十五至三十的反应发生以后，才能够达到最高反应速度。这提示在光的作用下比在羟氯直接侵袭银（灰雾）时形成了较多的核（潜影中心）。曝过光的或带有银核的沉淀物的反应，其温度系数低于不带核的沉淀物。从温度数据计算出的表观活化能，对曝过光的沉淀物为每克分子量18千卡；未曝光的无核沉淀物为每克分子量22至25千卡。

福特密勒（Fortmiller）与杰姆斯<sup>18</sup>研究了在凝胶的稀溶液内悬浮着的溴化银颗粒显影作用的动力学。这种方法避免了扩散效应，这种扩散效应在用涂布就绪的乳剂来研究时造成很大困难。他们所用的是一种商业电影正片乳剂的颗粒，并且用连续测量对红外线的光学密度的方法，或用在适当的时间间隔测定还原银的方式来研究反应的过程。这些著者们发现用4-氨基-3-甲基代二乙苯胺（4-amino-3-methyl-diethylaniline）显影曝光的颗粒时，反应速度随着显影物浓度的平方根变化。这种显影物以及4-氨基-1-甲基代-N-乙基-N-[ $\beta$ -甲基磺酰氨基乙基]苯胺（4-amino-3-methyl-N-ethyl-N-[ $\beta$ -methylsulfonamidoethyl] aniline）的反应的表观活化能是每克分子量21至22千卡。福特密勒与杰姆斯发现，用对苯二酚显影的表观活化能随pH值变化，然而显影作用的动力学表明：双电离的对苯二酚是反应中的活性种；如果考虑到对苯二酚的电离热而加以校正，则所得的表观活化能即与pH值无关。对显影作用的最初阶段所获得的数据是每克分子量5千卡，对以后各阶段的是每克分子量8千卡。所发现灰雾形成的表观活化能更高得多，在反应的最初各阶段为每克分子量12千卡，以后为每克分子量21千卡。可能数值12适用于最容易起灰雾的颗粒；数值21适用于灰雾中心的界限比较不明显的颗粒。假定米吐尔中羟基的电离热与对苯二酚中羟基的电离热相等，则用N-甲基对氨基苯酚（米吐尔）作显影物时，所得显影作用的表观活化能为每克分子量10千卡；灰雾形成过程的表观活化能则为每克分子量22千卡。

伏尔莫<sup>19</sup>（Volmer）发现，某些显影物的碱性溶液，在有胶态银存在时通以空气泡，就比其中没有银时更迅速地变黑。他认为显影物由于金属的存在而被活化为还原剂，然而魏斯贝格（Weissberger）与汤姆斯<sup>20</sup>（Thomas）并未发现伏尔莫所用的显影物对氧的反应有显著的加速作用，虽然他们曾观察到用对苯二酚时，氧的反应有显著的加速。

拉索普维区及其同事们<sup>21</sup>企图证明对苯二酚在银上的吸附，他们在实验中将银溶液加入对苯二酚溶液内，并对混合物作超滤处理，过滤以前和以后，分别进行分析，测定吸附的对苯二酚，以求得其差数。然而他们的

实验严重地受到氧的氧化作用的阻挠。柏瑞(Perry)、柏拉特(Ballard)与谢培德<sup>22</sup>在更严格的条件下重复了这些实验，即严密地保护溶液使其不受空气的氧化，但并未发现有可作结论的证据来证明对苯二酚或米吐尔能吸附于银。根据这些实验的结果看来<sup>164</sup>，即使有吸附作用发生，也只是很少的。另一方面，有确凿的证据可资证实对苯二酚和其他显影物被吸附在溴化银上。彭克劳夫特<sup>23</sup>(Bancroft)最先提出溴化银上吸附显影物的事实在显影作用的历程中起着重要的作用。但他认为显影物在曝过光的溴化银上的吸附比在未曝光的溴化银上的吸附更为强烈；并且这种反应就是负象显影的基础。不过，至今还未能从实验中获得证据来支持这种推测。

谢培德关于显影物吸附的见解，是以研究雷纳(Lainer)效应的某些实验为依据的。将一片曝了光的干板浸入显影液后，在某些情况下几乎立刻就可以看见影像的痕迹，而在另一些情况下，则需要经过一段时间以后，才能够看到显影作用的效应。雷纳<sup>24</sup>发现，显影液中有少量可溶性的碘化物时，这种诱导时期就会缩短。吕波-克雷莫<sup>25</sup>表明：加入少量的某些碱性染料和例如阿米多和米吐尔等许多显影剂的有色的氧化产物，也会发生同样的效应。谢培德与梅耶<sup>26</sup>(Meyer)发现，在米吐尔显影液中加入少量碘化物，并不影响相对诱导时期，但对于对羟基代甘氨酸显影液却能减短诱导时期；而对于对苯二酚显影液就更显著地减短这个时期。他们认为诱导时期是决定于显影物吸附所需时间的，用碘化物处理溴化银晶体，至少是部分地将晶体表面变成碘化银，而碘化银比溴化银有更大的倾向来吸附对羟基代甘氨酸和对苯二酚。

杰尔斯与范斯洛夫<sup>27</sup>获得了几种显影物吸附于溴化银上的直接的实验证据。他们用置换色层分离法，并且用足够低的pH值，借以在溴化银未被显著地还原以前完成实验。他们表明：对苯二酚、4-氨基-3-甲基代-N-乙基-N-(β-甲基硫醇氨基乙基)苯胺和肼在pH值为8.0时排代吸附于溴化银表面的染料蓝光碱性酚藏花红和3,3'-二乙基氧碳青(3,3'-diethyloxacarbocyanine)。同样，对苯二酚、邻苯二酚和羟氨从溴化银表面排代4-[(3-乙基-2(3H)-亚苯基塞吩)亚乙基]-3-甲基-1-(对磺基苯基)-5-吡唑酮(4-[(3-ethyl-2(3H)-benzothiazolylidene)ethylidene]-3-methyl-1-(ρ-Sulfophenyl)-5-pyrazolone)染料。对苯二酚、邻苯二酚或羟氨的pH值愈高，排代染料所需的显影物量愈小，这说明这类显影物的离子化形式比非离子化形式更强烈地被吸附。间苯二酚在pH值为10.0下使用时也排代染料，但它的作用比对苯二酚和邻苯二酚弱得多。在这以前，胡尔夫与萨依得<sup>28</sup>以及幸桥(Ukihashi)与菊池(Kikuchi)<sup>29</sup>曾